

TEOS 산화막 위에 기상증착을 통해 성장된 불화유기박막의 특성평가

차남구, 이강국, 박진구, 신형재*

한양대학교 금속재료 공학과, *삼성전자 중앙연구소

Characterization of Perfluoropolymer Thin Films on TEOS

Deposited by Thermal Evaporation

Nam-Goo Cha, Kang-Kuk Lee, Jin-Goo Park, Hyung-Jae Shin*

Department of Metallurgy and Materials Engineering, Hanyang University, Ansan, 425-791, South Korea

Core Technology Research Center, Samsung Electronics Co. Ltd, Suwon 442-742, South Korea

1. 서론

불화유기물의 대표적인 예는 Teflon, Fluon, Hastaflon 등으로 알려진 PTFE (polytetrafluoroethylene)로, $[-(\text{CF}_2-\text{CF}_2)-]$ 의 일반적인 형태를 가진 폴리머이다. PTFE는 화학적으로 매우 안정한 특성과 낮은 표면에너지, 매우 낮은 마찰 계수, 낮은 유전상수와 화학적 내구성을 지닌 고밀도의 폴리머로 그 응용분야는 생체에 쓰이는 재료의 코팅이나 발수성 코팅, 저 유전상수를 이용한 절연체, 전자 소자 산업에서 점착방지막, 부식방지막, 회생층 및 구조층으로 사용되어지고 있다.

기상증착을 통한 PTFE-like 불화유기 박막은 플라즈마에 의한 방법보다 저렴하고 공정이 손쉬운 장점이 있다. 또한 제작된 구조물의 파괴를 일으키지 않고 복잡한 형상의 구조물들에 증착 시킬 수 있는 장점이 있다. 이렇게 성장된 PTFE-like 불화유기 박막은 높은 친수성을 갖는 금속이나 산화물을 소수성으로 개질시켜 초소형 정밀기계분야(MEMS; Microelectromechanical systems)에서 구동체나 동작중 접촉면에서 대두되고 있는 점착방지 및 시스템 신뢰성 확보를 위해서 활발히 연구되고 있다.

본 연구의 목적은 기상증착을 통한 PTFE-like 불화유기 박막으로 매우 높은 표면에너지와 친수성을 가지는 TEOS(tetraethylorthosilicate) 산화물 표면을 낮은 표면에너지의 소수성 표면으로 개질시키고 그 특성을 평가하는데 있다.

2. 실험방법

본 연구에서 불화 유기박막을 성장시키기 위한 기판으로 bare Si(이하 Si), Thermal oxide (4000 Å, 이하 SiO_2), TEOS oxide (2000 Å on Al, 이하 TEOS) 웨이퍼가 사용되었다. 균질한 표면상태의 표준시편을 얻기 위하여 표면 전처리가 습식세정 및 건식세정으로 수행되었다. Si, SiO_2 , TEOS의 습식세정은 H_2SO_4 와 H_2O_2 가 4 대 1로

혼합된 용액에서 먼저 유기물을 제거한 후 초순수로 수세되고 다시 0.5%의 HF 용액에서 5분동안 표면처리되었다. 건식세정의 경우는 Ar을 이용하여 MFC의 Ar flow rate가 30sccm, 200mTorr, 200W에서 5분 동안 13.56 MHz의 RF 파워를 이용하여 세정하였다.

불화유기 박막의 성장을 위한 화학물로 Lancaster Synthesis Inc.로부터 구입한 PFDA [$[\text{CF}_3(\text{CF}_2)_8\text{COOH}]$]를 55mg 이용하여 증착시켰고 각각의 특성평가를 위해 Krtiss-G10 Drop Shape Analyzer가 이용되었다.

증착된 불화 유기박막의 접촉각과 표면에너지를 계산하기 위해서 측정용액으로 Millipore Milli-Q 시스템에서 생산된 $18.2\text{M}\Omega\cdot\text{cm}$ 의 DI Water (극성, $\gamma=72.8 \text{ dynes/cm}$)와 Sigma Chemical Co.로부터 구입한 formamide (CH_3NO , 극성, $\gamma=58 \text{ dynes/cm}$) 및 diiodomethane (CH_2I_2 , 비극성, $\gamma=50.8 \text{ dynes/cm}$)이 이용되었다.

접촉각 측정을 통한 표면에너지 계산은 실험 계산 결과 불화유기 박막의 평가에 있어서 잘 알려진 Solid Teflon의 표면에너지 값과 가장 근접한 값을 가지는 Lewis acid/base 모델을 바탕으로 계산되었다. 또한 표면에 대한 보다 많은 정보를 얻기 위해서 Captive drop 방법에 의한 등접촉각 측정을 통해 전진각과 후진각을 각각의 표면위에서 측정하고 그 두 값의 차인 $\Delta H(\text{hysteresis})$ 를 구하였다.

증착을 시키기 위한 장비로는 자체 제작된 Pulsed plasma CVD 장비가 사용되었다. 진공 증착을 위한 최적화된 조건을 찾기 위해서 장비의 온도 구배를 가지는 구간을 source, gas line, chamber로 구분하여 조사되었다. 또한 gas distributor의 특성을 알기 위해서 Teflon과 Al_2O_3 로 제작된 gas distributor가 이용되었다.

증착된 불화유기박막의 표면형상 및 표면 거칠기를 관측하기 위하여 AFM(Atomic Force Microscopy, Autoprobe M5S, Park Scientific Instruments)이 사용되었다. 또한 성장된 유기박막의 두께를 관찰하기 위하여 VASE (Variable-angle Spectroscopic Ellipsometer, J.A. Woollam Inc. V.A.S.E.)가 사용되었다.

3. 결과 및 고찰

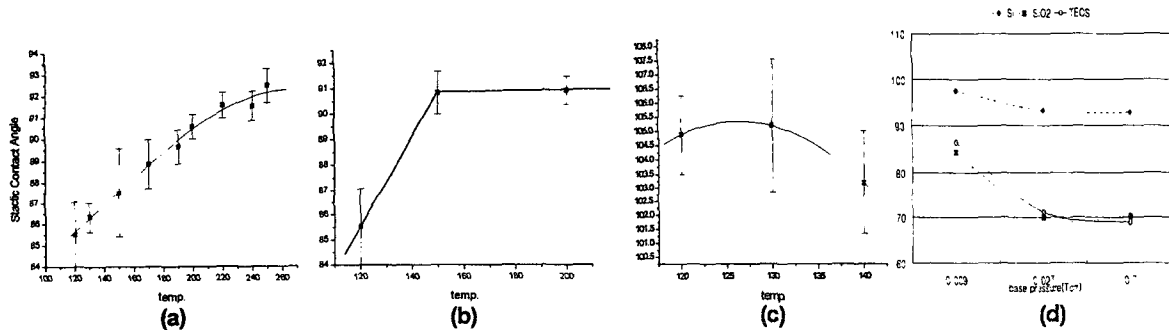


Figure 1. Optimized experimental condition (a) Source temperature, (b) Line temperature, (c) Chamber temperature, (d) System base pressure.

자체 제작한 장비의 최적화된 공정 조건은 각 장비의 온도구간에서 가장 높은 정접촉각과 가장 낮은 표준편차를 보이는 조건에서 확립되었다. Figure 1은 불화 유기박막의 증착이 source가 200°C , gas line이 150°C ,

chamber 가 120°C, base pressures 가 9mTorr 를 유지할 경우 가장 좋은 결과를 나타냄을 보여준다. 증착 과정은 전공정과 어닐링 공정으로 나누어 각각 20 분식 실시되었다. 또한 사용된 Teflon 과 Al_2O_3 gas distributor 중에서 Teflon distributor 가 더 우수한 성질을 나타내었다. 이는 Teflon distributor 의 out-gassing 되는 양이 더 작기 때문으로 생각된다.

표준시편을 얻기 위한 습식 및 건식 표면처리후 Si의 경우를 제외하고 SiO_2 와 TEOS 는 매우 큰 친수성의 표면으로 정접촉각이 ~5° 미만으로 나타났다. 그러나 불화 유기박막을 증착한 후 소수성으로 개질된 표면에 대한 정접촉각이 Figure 2 에 나타나 있다. 이 중 건식처리된 TEOS 에서 가장 높은 정접촉각이 측정되었다. Table 1 에서 이렇게 측정된 정접촉각의 데이터를 가지고 각각의 표면에서의 에너지 값이 Lewis acid/base 모델을 바탕으로 계산되었다.

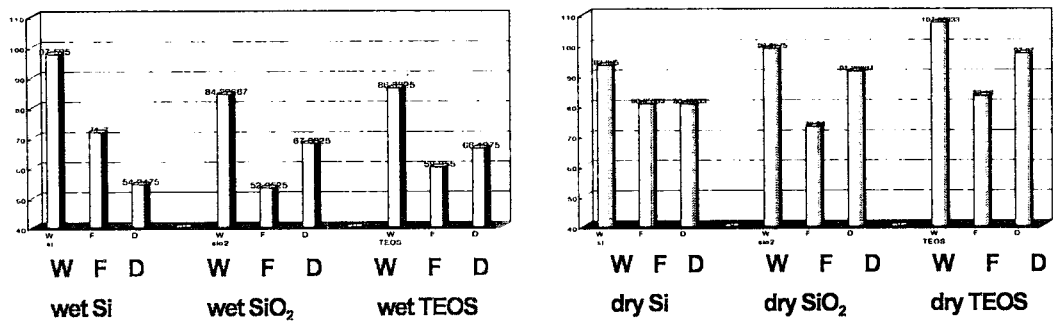


Figure 2. Static contact angles of liquids on sample surface, W : water, F : formamide, D: diiodomethane.

Sample Name	Total (mN/cm)	Disperse	Polar	Acid	Base
wet Si	32.29	31.88	0.4122	0.0723	0.5873
wet SiO_2	29.25	24.07	5.185	5.015	1.34
wet TEOS	29.64	25.02	4.621	2.586	2.065
dry Si	20.38	17.24	3.135	0.4858	5.057
dry SiO_2	14.55	12.17	2.373	5.65	0.2491
dry TEOS	10.4	9.766	0.6318	4.075	0.0245

Table 1. Calculated surface free energies and parameters based on Lewis acid/base theory.

표면에 대한 보다 많은 정보를 얻기 위해서 동접촉각 측정이 이루어 졌다. Figure 3 에서는 전진각과 후진각의 차인 ΔH 를 보여주고 있다. 건식세정후 증착된 시편의 ΔH 는 습식세정후 증착된 시편의 ΔH 보다 더 큰 값을 보인다. 이는 건식세정후 증착된 시편의 표면에 CF_x 분자의 불균질한 표면 덤핑성에 기인한 것으로 생각된다.

TEOS 표면의 증착전후의 모양은 AFM 을 통하여 측정되었다. Figure 4 에서 보듯이 습식세정한 시편이 건식세정보다 $R_{\text{p},v}$ (peak to valley) 와 R_{rms} (root-mean-square)값이 더 크고 거친 것을 알 수 있고 증착후에는 그리 큰

는걸 알 수 있다

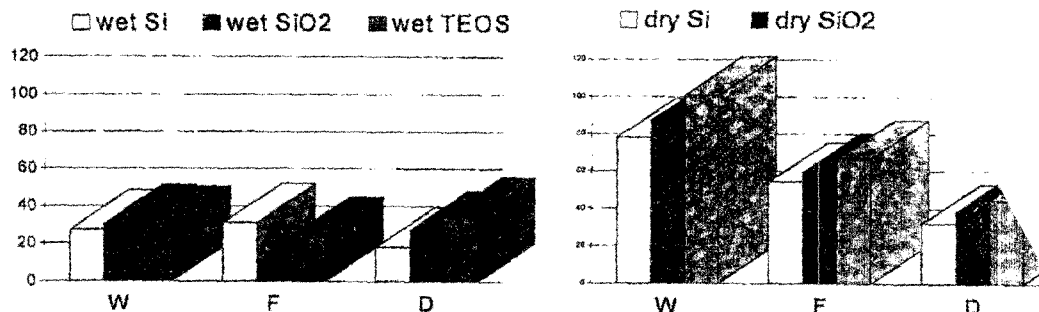


Figure 3. ΔH (hysteresis) of liquids on sample surface, W : water, F : formamide, D: diiodomethane.

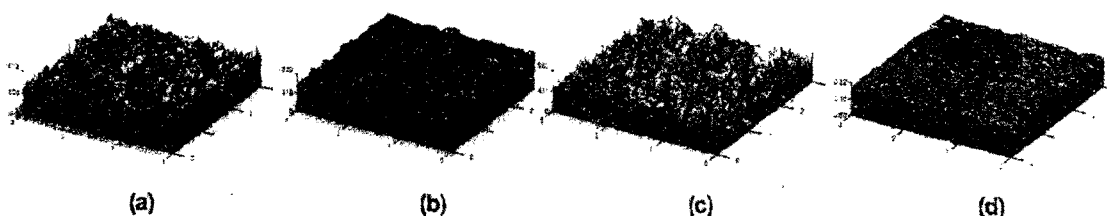


Figure 4. 3D-AFM images ($3 \times 3 \mu\text{m}^2$) of (a) wet cleaned ($R_{\text{pv}}=1530 \text{ \AA}$, $R_{\text{rms}}=184 \text{ \AA}$), (b) after PFDA deposited ($R_{\text{pv}}=1260 \text{ \AA}$, $R_{\text{rms}}=82.4 \text{ \AA}$), (c) dry cleaned ($R_{\text{pv}}=1060 \text{ \AA}$, $R_{\text{rms}}=115 \text{ \AA}$), and (d) after PFDA deposited ($R_{\text{pv}}=1060 \text{ \AA}$, $R_{\text{rms}}=86.4 \text{ \AA}$) on TEOS substrate.

VASE를 이용한 증착된 박막의 두께 측정값은 Table 2에 나타나 있다. 건식세정에 비해 습식세정에 의해 식각이 많이 일어났고 특히 TEOS의 경우 가장 많이 일어 났다. 가장 높은 접촉각을 보이는 건식세정후 증착한 TEOS 시편이 가장 많이 증착되어 있었다.

Sample	Thickness of etched SiO_2	Amount of etched SiO_2	Thickness of deposited PFDA
wet-Si			16.53 \AA
wet- SiO_2	3902 \AA	98 \AA	31.98 \AA
wet-TEOS	1023 \AA	977 \AA	77.96 \AA
dry-Si			46.77 \AA
dry- SiO_2	3954 \AA	46 \AA	24.08 \AA
dry-TEOS	1931 \AA	69 \AA	183.99 \AA

Thickness of etched SiO_2 and deposited PFDA on sample substrates.